

инертной добавки в количестве 60% не наблюдалось роста в зависимости от плотности. Так, гексоген/тальк (40/60) имеет $d_{kp} > 50$ мм при $\rho = 1,44 \text{ г}/\text{см}^3$; при $\rho = 1,86 \text{ г}/\text{см}^3$ детонация распространяется в заряде диаметром 15 мм.

Наряду с перхлоратными смесями были изучены смеси ТГ (тротил-гексоген), компоненты которых имеют отрицательный кислородный баланс и, следовательно, продукты разложения компонентов практически не взаимодействуют между собой. Критический диаметр заряда определялся для смеси ТГ при общей плотности заряда $\rho = 1,0 \text{ г}/\text{см}^3$. Размер частиц компонентов составляет $< 100 \text{ мкм}$. Из табл. 4 и рис. 4 видно, что зависимость критического диаметра детонации от состава смеси ТГ выражается прямой линией и может быть определена по правилу аддитивности. Налицо различное влияние компонентов. Кривые зависимости критического диаметра от состава смеси ПХА/октоген носят явно нелинейный характер, наблюдается более сильное снижение критического диаметра этих смесей, чем это вытекает из линейного закона. С другой стороны, замена ПХА в смесях с октогеном инертной добавкой той же плотности (KCl) и той же дисперсности приводит к увеличению критического диаметра.

Смесь с содержанием 70% KCl детонирует устойчиво в заряде 12 мм, с содержанием 80% KCl — в заряде диаметром 16 мм, т. е. инертная добавка по сравнению с ПХА увеличивает критический диаметр примерно в 2 раза. Эти опыты показывают, что даже в жестких условиях, а именно в смесях с мощными взрывчатыми веществами, и в критических условиях ПХА ведет себя активно.

ИХФ АН СССР

Поступила в редакцию
20/XII 1974

ЛИТЕРАТУРА

- Л. Н. Акимова, Л. Н. Стесик, А. Я. Апин. ФГВ, 1967, 3, 3.
- D. Price, A. R. Clairmont. Ig. and J. O. Erkman. Comb. and Flame, 1971, 17, 3, 323—336.
- В. К. Боболев. Канд. дис., ИХФ АН СССР, 1947.

УДК 539.89+537.226

ИНДУЦИРОВАННАЯ УДАРНОЙ ВОЛНОЙ ЭЛЕКТРИЧЕСКАЯ ПОЛЯРИЗАЦИЯ НИТРОГЛИЦЕРИНА

C. С. Набатов, В. В. Якушев, А. Н. Дремин

Согласно [1, 2], индуцированная ударной волной электрическая поляризация (ударная поляризация) низкомолекулярных диэлектриков обусловлена разворотом асимметричных дипольных молекул в поле сил фронта ударной волны (ФУВ). При выходе вещества из зоны действия ФУВ, времененная продолжительность которой в жидкости составляет 10^{-11} — 10^{-13} с, наведенная поляризация разрушается тепловым движением молекул [3] и, если сжатое вещество становится электропроводным, путем компенсации связанных зарядов свободными носителями тока [4, 5]. Поскольку процесс релаксации не должен зависеть от спо-

соба создания поляризации (разворот молекул в поле сил ФУВ или за счет приложенного внешнего электрического поля), для веществ, остающихся в сжатом состоянии хорошими изоляторами, времена релаксации τ ударной и диэлектрической поляризаций должны совпадать. Таким образом, независимое измерение относительной статистической проницаемости ϵ_s и τ в сжатом веществе высокочастотными методами [6] дает возможность сократить число неизвестных параметров в феноменологических теориях ударной поляризации и вычислить удельную поляризацию P_0 , создаваемую ФУВ.

В настоящей работе измерены ϵ_s , τ и ЭДС ударной поляризации нитроглицерина (НГЦ) в диапазоне динамических давлений 1,4—14,5 ГПа. На основании полученных экспериментальных данных оценена вязкость сжатого вещества и рассчитана величина P_0 .

Теоретическое рассмотрение. Аналогично [3—5] будем считать, что исследуемое вещество является диэлектриком плоского конденсатора, имеющего начальную толщину x_0 . ФУВ, двигаясь от одной обкладки к другой со скоростью U , создает в образце поляризацию, релаксирующую к равновесному нулевому значению. Положим, что диэлектрик подчиняется формулам Дебая с одним временем релаксации и время установления P_0 много меньше τ . Допустим, что пластины конденсатора разомкнуты и в веществе за ФУВ отсутствует электропроводность.

Согласно [7], для каждого слоя dx с координатой x в сжатом диэлектрике можно записать

$$\tau \epsilon_\infty (\partial E / \partial \xi) = \epsilon_s E, \quad (1)$$

где E — напряженность электрического поля; ϵ_∞ — высокочастотная относительная диэлектрическая проницаемость; ξ — время, отсчитываемое от момента сжатия данного слоя ударным фронтом. Интегрируя (1) с учетом $\epsilon_0 \epsilon_\infty E_0 = -P_0$ при $\xi = 0$ ($\epsilon_0 = 8,85 \cdot 10^{-12} \text{ Ф/м}$), имеем

$$E = -(P_0 / \epsilon_0 \epsilon_\infty) \exp [-(\epsilon_s / \epsilon_\infty) (\xi / \tau)]. \quad (2)$$

Принимая во внимание, что $\xi = [(Ut - x)\sigma] / U$, где σ — сжатие вещества за ФУВ, и что в несжатой области $E = 0$, интегрированием (2) получим разность потенциалов на границах диэлектрика

$$V = -P_0 U \tau / \epsilon_0 \epsilon_s \sigma \cdot [1 - \exp(-\epsilon_s / \epsilon_\infty \cdot t / \tau)]. \quad (3)$$

Эта величина представляет собой поляризационную ЭДС E эквивалентного генератора, взятую с обратным знаком. Если $x_0 / U \gg (\epsilon_\infty / \epsilon_s) \tau$, т. е. имеет место быстрая релаксация, $E = P_0 U \tau / \epsilon_0 \epsilon_s \sigma$. Таким образом, если экспериментально определить E , измерить ϵ_s и τ в сжатом веществе, зная кинематические параметры ударной волны, по соотношению (3) легко рассчитать P_0 , характеризующую степень ориентации молекул в ударном переходе.

Измерение диэлектрической проницаемости и времени релаксации поляризации. НГЦ, поставляемый в виде раствора в метаноле, отделялся от последнего многократным взбалтыванием с большими количествами воды и сушился над хлористым кальцием. Вещество имело удельный объем $0,625 \text{ см}^3/\text{г}$ и $n_D^{20} = 1,4738$.

Величины ϵ_s и τ НГЦ за ФУВ определялись аналогично [6] по собственной частоте $f = \omega / 2\pi$ и затуханию θ колебательного процесса в контуре, состоящем из катушки индуктивности и измерительной ячейки. Конструкция ячейки, а также описание взрывных систем, обеспечивающих близкое к одномерному динамическое сжатие образцов, приведены в [8]. Процесс измерения f и θ занимал примерно 0,5 мкс.

Давление p в НГЦ и величина сжатия σ находились методом отражения. При этом использовалась ударная адиабата НГЦ $U = 2,24 + 1,66u$ [9], где u — массовая скорость вещества за ФУВ. Время ре-

лаксации поляризации рассчитывалось по формуле

$$\sigma = [(2C_1/C_2)(1-\theta/\theta_1)] : \theta(1/LC_2 - \omega^2 + 3/\theta^2 - 4C_1/C_2\theta\theta_1), \quad (4)$$

$$C_1 = \epsilon_s C_0 + C_n; \quad C_2 = \epsilon_\infty C_0 + C_n.$$

Здесь C_0 — постоянная ячейки, L — индуктивность контура, C_n — паразитная емкость, θ_1 — время затухания при отсутствии диэлектрических потерь. Эта формула была получена обобщением соотношения, приведенного в [6], учетом паразитных потерь, не связанных с диэлектриком (потери в скин-слое, на излучение и т. д.).

Перед опытом вместо ячейки подключались эталонные конденсаторы с малыми диэлектрическими потерями и снималась зависимость частоты колебаний от величины их емкости и $\theta_1 = \theta_1(f)$. Используя первую зависимость, легко рассчитать L , вторая зависимость позволяла по частоте, измеренной в эксперименте, определить θ_1 .

Методом, описанным в [8], было показано, что в диапазоне давлений 1,4—12 ГПа НГЦ за ФУВ остается хорошим диэлектриком ($\rho > 10^5$ Ом·м). Поэтому при выводе формулы (4) активным сопротивлением образца можно было пренебречь. В экспериментах величина f изменялась от 6,4 до 7,5 МГц, значения θ составляли 0,3—0,9 мкс.

Высокочастотная диэлектрическая проницаемость полагалась равной $1,1n^2$, где n — показатель преломления. Величины n за ФУВ рассчитывались по формуле Лоренц—Лорентца с учетом поправок, полученных усреднением данных [10, 11].

Результаты расчетов ϵ_∞ и измерений ϵ_s НГЦ представлены в таблице. Видно, что с ростом степени сжатия величина ϵ_s уменьшается вплоть до $\sigma \approx 1,3$ и остается практически постоянной при дальнейшем увеличении σ .

К сожалению, интерпретация результатов экспериментов на уровне микроструктуры сжатого вещества в случае НГЦ затруднена отсутствием данных о степени его цистрансизомеризации при давлениях и температурах, реализуемых за ФУВ.

На рис. 1, 2, дана экспериментальная зависимость времени релаксации поляризации от величины динамического давления. Каждая точка получена в отдельном опыте. Наблюдаемый максимум τ в области низких давлений и дальнейшее падение τ при увеличении p , по-видимому, связаны с противоположным влиянием на время релаксации сжатия и разогрева вещества на ФУВ.

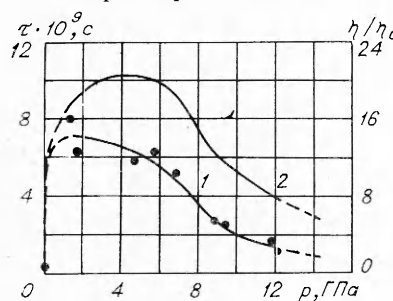


Рис. 1. Зависимости вязкости (1) и времени релаксации поляризации (2) НГЦ от величины динамического давления.

$p, \text{ ГПа}$	σ	ϵ_s	ϵ_∞
0	1,00	20,1	2,39
1,42	1,13	19,7	2,64
1,80	1,16	19,0	2,70
4,80	1,30	16,0	2,82
5,75	1,33	16,0	3,05
6,80	1,36	15,6	3,12
8,98	1,42	16,5	3,24
9,36	1,42	16,1	3,24
11,8	1,47	16,1	3,35
12,2	1,48	16,2	3,36

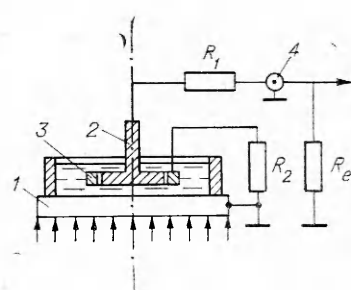


Рис. 2. Схема экспериментального устройства.

1 — металлический экран Ø 80 мм и толщиной 8 мм; 2 — электрод Ø 15 мм; 3 — охранное кольцо; 4 — кабель РК-75; $R_e = 75 \Omega$ — входное сопротивление осциллографа.

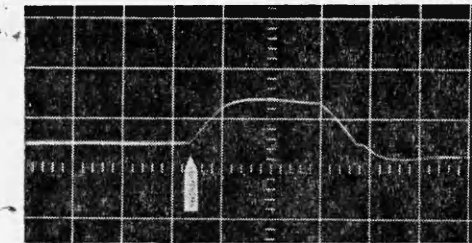


Рис. 3. Осциллограмма электрического сигнала ударной поляризации. Чувствительность 0,09 В/деление; масштаб времени 0,21 мкс/деление; $R_1=38,6$ кОм; $p=5,8$ ГПа. Стрелкой показан момент входа ФУВ в образец.

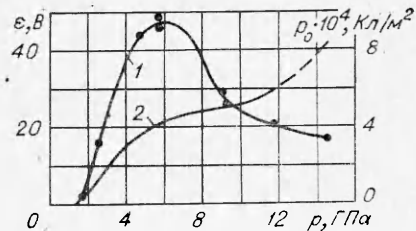


Рис. 4. Зависимость ЭДС ударной (1) и начальной поляризации (2) НГЦ от величины динамического давления.

На основании полученных данных интересно сделать приближенную оценку вязкости η НГЦ в условиях высоких динамических давлений по формуле Дебая, которую для нашего случая легко привести к виду

$$\eta/\eta_0 = (\tau/\tau_0)(T/T_0), \quad (5)$$

где индексом «0» отмечены значения времени релаксации, вязкости и абсолютной температуры при нормальных условиях. Значения температуры за ФУВ были взяты из работы [12]. Соответствующая зависимость $\eta/\eta_0(p)$ приведена на рис. 1, 1. Как и τ , вязкость сжатого НГЦ при увеличении давления сначала резко возрастает, а затем плавно уменьшается, оставаясь во всем изученном диапазоне давлений больше, чем при нормальных условиях.

Эксперименты по ударной поляризации. Экспериментальное устройство, примененное в настоящей работе для наблюдения ударной поляризации НГЦ, схематически показано на рис. 2. Расстояние между экраном и электродом x_0 составляло 2 мм, что соответствует времени прохода ФУВ около $5 \cdot 10^{-7}$ с. Как показано выше, τ динамически сжатого НГЦ во всем исследованном диапазоне давлений не превышает $7 \cdot 10^{-9}$ с, поэтому, согласно формуле (3), ЭДС ударной поляризации E должна оставаться практически постоянной в процессе движения ФУВ от экрана к электроду.

Чтобы надежно измерить величину E , в отличие от обычной постановки опытов (см., например, [13, 14]) между коаксиальным кабелем и электродом ставился резистор R_1 . Величина сопротивления R_1 выбиралась из условий превышения постоянной времени измерительной цепи над величинами τ и x_0/U и составляла 20–40 кОм. При этом, согласно [15], импульс напряжения, возникающий за счет поляризации образца, на R_1+R_e имеет близкую к прямоугольной форме и амплитуду, равную величине E . Типичная осциллограмма приведена на рис. 3. Экспериментальная зависимость ЭДС ударной поляризации от величины давления за ФУВ дана на рис. 4, 1.

Как отмечалось выше, исходя из полученных зависимостей $\tau(p)$, $E(p)$ и $\varepsilon_s(p)$, по формуле (3) при любом значении давления можно рассчитать начальную поляризацию P_0 НГЦ на ФУВ (рис. 4, 2). Видно, что зависимость $P_0(p)$, как и в пластмассах [1, 13],—монотонно возрастающая функция давления.

В заключение отметим, что явление ударной поляризации приводит к возникновению довольно высокого электрического поля вблизи ФУВ, движущегося по образцу дипольного диэлектрика. В случае НГЦ, оцененная величина E_0 при $p=12$ ГПа составляет примерно 200 кВ/см.

ЛИТЕРАТУРА

1. R. J. Eichelberger, G. E. Hauver. Collog. Internat., Centre Nat. Rech. Sci, 1962, № 109.
 2. В. В. Якушев, А. Н. Дремин. Докл. АН СССР, 1974, 216, 4.
 3. F. E. Allison. J. Appl. Phys., 1965, 36, 7.
 4. Я. Б. Зельдович. ЖЭТФ, 1967, 53, 1.
 5. А. Г. Иванов, Ю. В. Лисицын, Е. З. Новицкий. ЖЭТФ, 1968, 54, 1.
 6. В. В. Якушев, С. С. Набатов, А. Н. Дремин.—В сб.: Горение и взрыв. М., «Наука», 1972, с. 584.
 7. Г. Фрелих. Теория диэлектриков. М., ИЛ, 1960.
 8. В. В. Якушев, С. С. Набатов, О. Б. Якушева. ФГВ, 1974, 10, 4.
 9. А. Н. Дремин, О. К. Розанов и др. ФГВ, 1967, 3, 1.
 10. С. Б. Кормер. УФН, 1968, 94, 4.
 11. T. J. Ahrens, M. H. Ruderman. J. Appl. Phys., 1966, 37, 13.
 12. И. М. Воскобойников, В. М. Богомолов, А. Я. Алии. ФГВ, 1968, 4, 1.
 13. G. E. Hauver. J. Appl. Phys., 1965, 36, 7.
 14. А. Г. Иванов, Е. З. Новицкий и др. ЖЭТФ, 1967, 53, 1.
 15. А. Г. Антипеко, С. С. Набатов, В. В. Якушев. ФГВ, 1975, 11, 3.
-

УДК 621.791.1

К ОПРЕДЕЛЕНИЮ ВЕРХНЕЙ ГРАНИЦЫ ОБЛАСТИ СВАРКИ ВЗРЫВОМ

В. В. Ефремов, И. Д. Захаренко

В [1, 2] показано, что каждая пара металлов сваривается в определенной области режимов соударения. В работах [1, 3] сделано предположение, что для образования сварного соединения необходимо, чтобы время застывания расплавов на границе раздела t_2 было меньше времени существования положительных давлений на линии соединения материала t_1 . Время t_2 при соударении пластин из однородных материалов можно вычислить, предполагая источник тепла мгновенным и расположенным на границе раздела материалов [4]

$$t_2 = \frac{1,6 \cdot 10^{-4} v_k^4 \rho^2 h_1^2 \sin^4(\gamma/2)}{\pi T_{\text{пл}}^2 \left(\frac{\kappa}{a} \right)^2} \cdot \left(\frac{h^2}{h_1 + h_2} \right)^2, \quad (1)$$

где v_k — скорость точки контакта; γ — угол соударения; ρ — плотность материала; h_1 и h_2 — толщина метаемой и неподвижной пластин; κ — теплопроводность; a — температуропроводность; $T_{\text{пл}}$ — температура плавления материала, °С.

Время прихода растягивающих напряжений в работе [1] вычислялось по гидродинамической модели соударения двух струй жидкости в акустическом приближении. При этом предполагалось, что растягивающие напряжения в шве возникают в тот момент времени, когда на границе раздела материалов, согласно гидродинамическому приближению, давление будет меньше предела текучести металла.

В работе [3] время прихода растягивающих напряжений определялось как время прохождения упругой волной двойной толщины наиболее тонкой пластины. Такое предположение справедливо для некоторого начального участка сварки, когда процесс соударения нельзя считать стационарным. Однако в обычных условиях сварки взрывом этот участок занимает незначительную площадь пластины.